

(5)

Ex 2

$$T(\bar{o}) T(\bar{os}) = R(o) T(\bar{os}) R_m(s) T(\bar{so}) R(o)$$

En effet tout se passe dans l'air. Il y a successivement passage dans le verre, translation lentille-miroir, réflexion sur le miroir, translation miroir-lentille et à nouveau passage dans le verre. Il y a changement de signe au passage par le miroir.

$$T(\bar{os}) = \begin{pmatrix} 1 & \bar{o}\bar{s} \\ 0 & 1 \end{pmatrix} = \begin{pmatrix} 1 & R \\ 0 & 1 \end{pmatrix}$$

$$T(\bar{so}) = \begin{pmatrix} 1 & \bar{s}\bar{o} \\ 0 & 1 \end{pmatrix} = \begin{pmatrix} 1 & R \\ 0 & 1 \end{pmatrix} \quad (\text{changement de signe})$$

$$R_m(s) = \begin{pmatrix} 1 & 0 \\ -\frac{1}{V_m} & 1 \end{pmatrix} = \begin{pmatrix} 1 & 0 \\ -\frac{2}{R} & 1 \end{pmatrix} \quad V_m = \frac{2}{R}.$$

(vergence du miroir)

$$R(o) = \begin{pmatrix} 1 & 0 \\ -\frac{1}{V_o} & 1 \end{pmatrix} = \begin{pmatrix} 1 & 0 \\ -\frac{1}{R} & 1 \end{pmatrix} \quad V_o = \frac{1}{R} = \frac{1}{p_i}$$

(vergence de la lentille)

D'où :

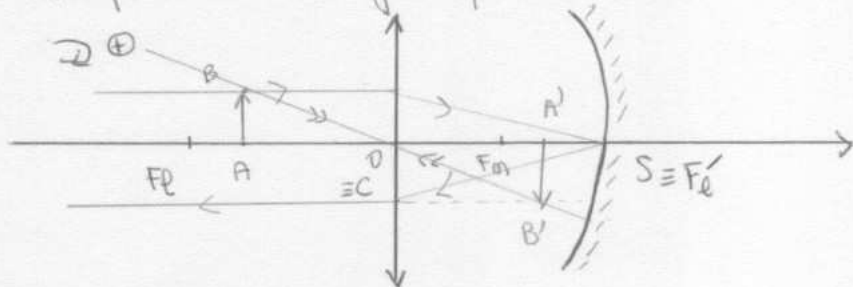
$$T(\bar{oos}) = \begin{pmatrix} 1 & 0 \\ -\frac{1}{R} & 1 \end{pmatrix} \begin{pmatrix} 1 & R \\ 0 & 1 \end{pmatrix} \begin{pmatrix} 1 & 0 \\ -\frac{2}{R} & 1 \end{pmatrix} \begin{pmatrix} 1 & R \\ 0 & 1 \end{pmatrix} \begin{pmatrix} 1 & 0 \\ -\frac{1}{R} & 1 \end{pmatrix}$$

$$T(\bar{oos}) = \begin{pmatrix} 1 & R \\ -\frac{1}{R} & 0 \end{pmatrix} \begin{pmatrix} 1 & 0 \\ -\frac{2}{R} & 1 \end{pmatrix} \begin{pmatrix} 0 & R \\ -\frac{1}{R} & 1 \end{pmatrix}$$

$$T(\bar{oos}) = \begin{pmatrix} -1 & R \\ -\frac{1}{R} & 0 \end{pmatrix} \begin{pmatrix} 0 & R \\ -\frac{1}{R} & 1 \end{pmatrix} = \begin{pmatrix} -1 & 0 \\ 0 & -1 \end{pmatrix}$$

2) On déduit que la vergence du système $v=0$.
 (système aplan). Donc à tout rayon incident
 correspond un émergent parallèle.

⑥



$$3) T(\bar{O}\bar{O}') = \begin{pmatrix} -1 & 0 \\ 0 & -1 \end{pmatrix}$$

Entre un point A et un point A':

$$T(\bar{A}\bar{A}') = T(\bar{O}\bar{A}') T(\bar{O}\bar{O}) T(\bar{O}\bar{A})$$

$$T(\bar{A}\bar{A}') = \begin{pmatrix} +1 & \bar{O}\bar{A}' \\ 0 & 1 \end{pmatrix} \begin{pmatrix} -1 & 0 \\ 0 & -1 \end{pmatrix} \begin{pmatrix} 1 & \bar{A}\bar{O} \\ 0 & 1 \end{pmatrix}$$

$$T(\bar{A}\bar{A}') = \begin{pmatrix} -1 & -\bar{O}\bar{A}' \\ 0 & -1 \end{pmatrix} \begin{pmatrix} 1 & \bar{A}\bar{O} \\ 0 & 1 \end{pmatrix}$$

$$T(\bar{A}\bar{A}') = \begin{pmatrix} -1 & -\bar{A}\bar{O} - \bar{O}\bar{A}' \\ 0 & -1 \end{pmatrix}$$

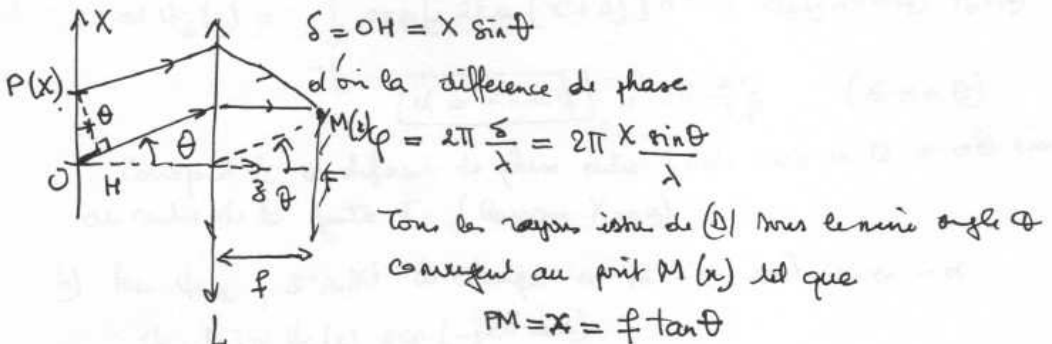
Les deux points étant conjugués, $-\bar{A}\bar{O} - \bar{O}\bar{A}' = 0$

$$\bar{O}\bar{A}' = -\bar{A}\bar{O} \text{ donc il est négatif.}$$

(\bar{A}' est après la lentille, à la même distance que A)

Le grandissement $G_T = \frac{\bar{O}\bar{A}'}{\bar{O}\bar{A}} = -1$ (image renversée de même grandeur que l'objet)

tous les points du diaphragme (D) sont placés dans le même plan d'onde incident, être d'une onde sonore simple (S). En prenant comme origine des phases le point O à l'instant $t = 0$, la différence de marche pour un point sur l'axe d'abscisse X vaut pour une onde émise dans la direction θ



Pour des angles θ faibles, au voisinage de F , on a $\sin\theta \approx \tan\theta \approx \theta$

$$\text{d'où } \varphi \cong 2\pi \frac{x}{\lambda} \theta \cong 2\pi \frac{x}{\lambda} \frac{z}{af} = 2\pi u x \quad \text{en posant } u = \frac{z}{af}$$

En posant A l'amplitude de l'onde en F , on a ainsi

$$\psi(u) = A \int t(x) \exp[i\varphi(x)] dx = A \int t(x) \exp(i2\pi ux) dx$$

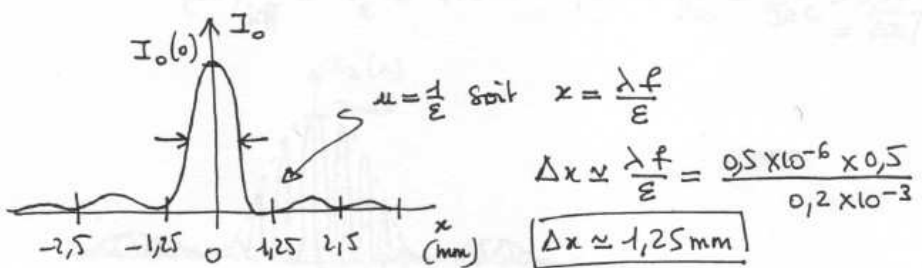
où $t(x)$ est la taux nulance du discipline $t(x) = 0$ si doléation et $t(x) = 1$ si curative.

$$2) \text{ if } t_0(x) = 1 \text{ in } |x| \leq \frac{\varepsilon}{2} \text{ and } 0 \text{ in } |x| > \frac{\varepsilon}{2}$$

$$b) \quad \psi_0(x) = A \int_{-\varepsilon}^{+\varepsilon/2} \exp(i \frac{2\pi}{\lambda} u x) du = \frac{A}{2i\pi u} [\exp(i\pi u\varepsilon) - \exp(-i\pi u\varepsilon)]$$

$$\boxed{\Phi_0(x) = A \frac{\sin(\pi x E)}{\pi x E} = \frac{A E \operatorname{sinc}(x E)}{\operatorname{sinc}(\pi x E)}} \quad \text{avec } \operatorname{sinc}(x E) = \frac{\sin(\pi x E)}{\pi x E}$$

$$I_o = \Psi_o^* \Psi_o = |A|^2 \varepsilon^2 \operatorname{sinc}^2(\mu \varepsilon) = I_o(0) \operatorname{sinc}^2\left(\frac{\mu x}{\lambda f}\right)$$



$$3) a) t_1(x) = \begin{cases} 1 & \text{si } -\frac{\varepsilon}{2} \leq x \leq a + \frac{\varepsilon}{2} \\ 0 & \text{ailleurs} \end{cases}$$

$$\psi_1(x) = \int_{a-\frac{\varepsilon}{2}}^{a+\frac{\varepsilon}{2}} \exp(i2\pi u x) dx$$

$$\text{on pose } x' = x - a \Rightarrow dx = dx'$$

$$\text{et } \psi_1(x) = \int_{-\frac{\varepsilon}{2}}^{+\varepsilon/2} \exp[i2\pi u(x'+a)] dx' = \exp(i2\pi ua) \psi_0(x)$$

$$d = 2\pi ua \quad (\varepsilon \ll a)$$

Corrrespond à la différence de phase entre l'onde en $x=0$ et celle en $x=a$ au centre de la fente F_1 (lorsque $x=a$)

b) Pour ψ_{-1} , il suffit de changer a en $-a$, soit d en $-d$

$$\psi_{-1}(x) = \psi_0(x) \exp(-i2\pi ux)$$

$$c) I_1 = \psi_1 \psi_1^* = I_0 |\exp(i2\pi ua)|^2 = I_0 = I_{-1}$$

L'intensité ne dépend pas de la position de la fente ; elle décroît cependant au voisinage de l'image géométrique de la source qui est en $(x=0)$. La figure de diffraction est inchangée.

$$d) a) I_2(x) = t_1(x) + t_{-1}(x) \text{ et donc } A_2 = A_1 + A_{-1}$$

$$A_2 = \underbrace{[\exp(i2\pi ua) + \exp(-i2\pi ua)]}_{\psi_0} = 2 \underbrace{\cos(2\pi ua)}_{\text{terme d'interférence}}$$

$$I_2 = 4 |\psi_0|^2 \cos^2(2\pi ua) = 4 I_0(x) \cos^2(2\pi ua)$$

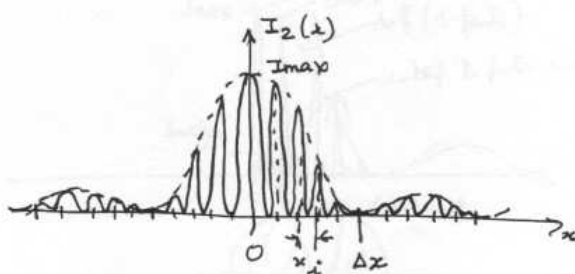
$$I_2(x) = \underbrace{|A|^2 \varepsilon^2}_{\text{terme de diffraction}} \underbrace{\operatorname{sinc}^2(\mu\varepsilon) 4 \cos^2(2\pi ua)}_{\text{terme d'interférence}}$$

terme de diffraction terme d'interférence.

b) L'interférence de référence correspond à $2\pi u_i a = \pi$

$$\text{soit } u_i = \frac{1}{2a} \text{ et } \overline{x_i} = \lambda f u_i = \frac{\lambda f}{2a}$$

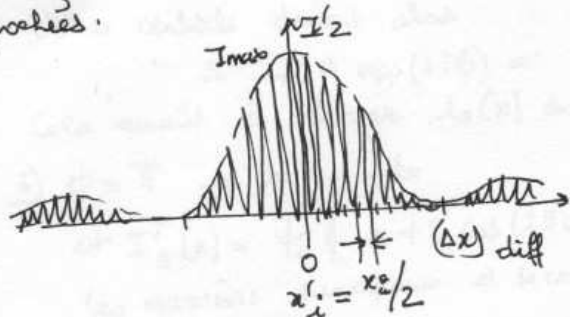
$$(\Delta x)_{\text{diff}} = \frac{\lambda f}{\varepsilon} = 1,25 \text{ mm} \quad \overline{x_i} = \frac{\lambda f}{2a} = \frac{\lambda f}{50\varepsilon} = \frac{0,025 \text{ mm}}{\Delta x / \Sigma}$$



c) la diffraction est inchangée.

(II.3)

la figure d'interférence est celle de deux fentes espacées de a et non de $2a$; les franges d'interférences sont deux fois plus rapprochées.



$$5) \text{ a) } I_3(x) = t_{\text{diff}}(x) + t_0(x) + t_s(x) \Rightarrow \psi_3(x) = \psi_{s2} + \psi_0 + \psi_s$$

$$\begin{aligned} \psi_3(x) &= \psi_0 [1 + \exp(i2\pi u a) + \exp(-i2\pi u a)] \\ &= \psi_0 [1 + 2 \cos(2\pi u a)] \end{aligned}$$

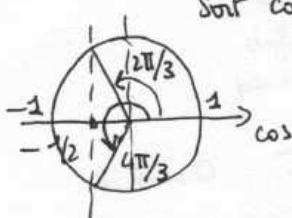
$$I_3(x) = |\psi_0|^2 (x) [1 + 2 \cos(2\pi u a)]^2 = \underbrace{|A|^2 \Sigma^2}_{\text{base de diffraction}} \underbrace{\sin^2 u \varepsilon}_{\text{tenu d'interférence}} []^2$$

(ia à 3 ondes)

$-1 \leq \cos(2\pi u a) \leq 1 \Rightarrow$ max principal pour
~~(3)~~ MP $\approx 2I_0$ \Rightarrow leue d'interférence est $(1+2)^2 = 9$ (3 ondes en phase)
 \Rightarrow max secondaire pour
 $(-1)^2 = 1$ (2 en phaz mais un en opposition de phaz)

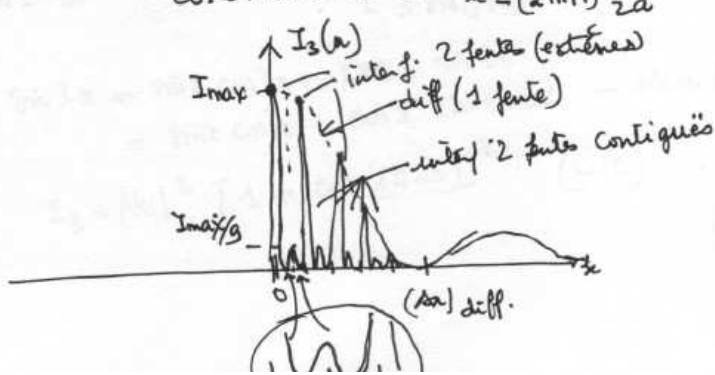
minimes nuls si $2\cos(2\pi u a) = -1$

Soit $\cos(2\pi u a) = -\frac{1}{2}$ et donc $(2\pi u a) = \frac{2\pi}{3}, \frac{4\pi}{3} \text{ (mod. } 2\pi)$
 (interférence destructive)



$$\cos 2\pi u a = \frac{1}{2} \text{ si } u = m \frac{1}{2a} = \frac{m x_i}{2a} \text{ (comme pour } \psi_2)$$

$$\cos 2\pi u a = -\frac{1}{2} \text{ si } u = (2m+1) \frac{1}{2a}$$



6) le retard introduit par le lame court

$$a) \delta_e \approx n_e - e = (n-1)e$$

Soit une ^{avance} de phase de $\phi = (n-1)e$

L'onde centrale devient alors

$$A \rightarrow A \exp(+i\phi) =$$

Cela revient à changer $t_0(x)$ en $t_0 \exp(i\phi)$

$$b) \phi = \pi \rightarrow t_0 \rightarrow -t_0$$

$$\text{et } I'_3(x) = t_0 [-1 + 2 \cos(2\pi ux)]^2$$

les maxima principaux et secondaires sont interchangés

Si $\phi = 2\pi$, on ne voit aucun changement.

7) $2N+1$ fentes

$$\psi = \psi_0 [1 + \exp(i2\pi ux) + \exp(-i2\pi ux) + \exp(i4\pi ux) + \exp(i6\pi ux)]$$

$$\psi = \psi_0 \sum_{n=-N}^{2N+1} \exp[in\pi u x] = \psi_0 \exp(-iN\varphi) \frac{\sum_{n=0}^{2N+1} \exp(in\varphi)}{1 - \exp[i(2N+1)\varphi]} \\ = \psi_0 \exp(-iN\varphi) \frac{1 - \exp[i(2N+1)\varphi]}{1 - \exp[i\varphi]}$$

$$= \psi_0 \frac{\exp[i\varphi]}{\exp[\frac{i\varphi}{2}]} \frac{\exp[i(N+\frac{1}{2})\varphi] + \exp[i(N-\frac{1}{2})\varphi]}{\exp[i\frac{\varphi}{2}] - \exp[-i\frac{\varphi}{2}]}$$

$$\psi = \psi_0 \exp[i\frac{\varphi}{2}] \frac{\sin[(N+\frac{1}{2})\varphi]}{\sin(\frac{\varphi}{2})}$$

$$I(x) = |t_0|^2 (2N+1)^2 \underbrace{\left[\frac{\sin[(2N+1)\frac{\varphi}{2}]}{(2N+1) \sin \frac{\varphi}{2}} \right]^2}_{\substack{\text{diffraction} \\ \text{par une fente}}} \underbrace{\text{fonction "réseau"}}$$

$$\text{Si } N=0 \quad I_0 = |t_0|^2$$

$$\text{Si } N=1 \quad I_3 = |t_0|^2 9 \left[\frac{\sin(3\varphi/2)}{3 \sin(\varphi/2)} \right]^2$$

$$\begin{aligned} \sin 3x &= \sin x \cos 2x + \cos x \sin 2x \\ &= \sin x \cos 2x + \cos x 2 \sin x \cos x = \sin x (1 + \cos 2x) \end{aligned}$$

$$I_3 = |t_0|^2 [1 + \cos(8\pi ux)]^2 \quad (0\pi)$$